

Zeitschrift:	Bulletin de la Société Vaudoise des Sciences Naturelles
Herausgeber:	Société Vaudoise des Sciences Naturelles
Band:	69 (1965-1967)
Heft:	317
Artikel:	Couleurs et indices de divers corps noirs dans le système de l'Observatoire de Genève
Autor:	Hauck, Bernard
DOI:	https://doi.org/10.5169/seals-275788

Nutzungsbedingungen

Die ETH-Bibliothek ist die Anbieterin der digitalisierten Zeitschriften auf E-Periodica. Sie besitzt keine Urheberrechte an den Zeitschriften und ist nicht verantwortlich für deren Inhalte. Die Rechte liegen in der Regel bei den Herausgebern beziehungsweise den externen Rechteinhabern. Das Veröffentlichen von Bildern in Print- und Online-Publikationen sowie auf Social Media-Kanälen oder Webseiten ist nur mit vorheriger Genehmigung der Rechteinhaber erlaubt. [Mehr erfahren](#)

Conditions d'utilisation

L'ETH Library est le fournisseur des revues numérisées. Elle ne détient aucun droit d'auteur sur les revues et n'est pas responsable de leur contenu. En règle générale, les droits sont détenus par les éditeurs ou les détenteurs de droits externes. La reproduction d'images dans des publications imprimées ou en ligne ainsi que sur des canaux de médias sociaux ou des sites web n'est autorisée qu'avec l'accord préalable des détenteurs des droits. [En savoir plus](#)

Terms of use

The ETH Library is the provider of the digitised journals. It does not own any copyrights to the journals and is not responsible for their content. The rights usually lie with the publishers or the external rights holders. Publishing images in print and online publications, as well as on social media channels or websites, is only permitted with the prior consent of the rights holders. [Find out more](#)

Download PDF: 17.08.2025

ETH-Bibliothek Zürich, E-Periodica, <https://www.e-periodica.ch>

Couleurs et indices de divers corps noirs dans le système de l'Observatoire de Genève

PAR

BERNARD HAUCK

Observatoire de Genève et Institut d'Astronomie de l'Université de Lausanne.

Résumé

Nous donnons pour les corps noirs de différentes températures λ_{eff} , le flux et les indices pour les sept couleurs du système photométrique de l'Observatoire de Genève.

A plusieurs reprises, nous avons eu besoin d'étudier des corps noirs dans la photométrie de l'Observatoire de Genève, aussi avons-nous jugé intéressant d'étudier des corps noirs de température correspondant aux différents types spectraux. Nous avons utilisé pour cela la relation donnée par HARRIS (1963). Pour chacune des températures données, nous avons calculé :

$$E_i = \int_{\lambda_1}^{\lambda_2} B(\lambda, T) \Phi_i(\lambda) d\lambda \quad i = 1, 2, \dots, 7$$

λ_1 λ_2 limites du filtre envisagé ;

$\Phi_i(\lambda)$ réponse du filtre selon RUFENER *et al.* (1964).

$B(\lambda, T)$ fonction de Planck = $\frac{c_1}{\lambda^5} \left(C \frac{c_2}{\lambda T} - 1 \right)^{-1}$

$c_1 = 3,71 \cdot 10^{-5} \text{ erg cm}^2 \text{ sec}^{-1}$

$c_2 = 1,433 \text{ cm deg}$ selon KAYE et LABY (1944).

Les résultats sont rassemblés dans le tableau 1.

Les deux premières colonnes donnent la relation température/type spectral, tandis que les 7 suivantes donnent E_i en $\text{erg cm}^{-2} \text{ sec}^{-1}$, la correspondance entre i et l'appellation de nos filtres étant la suivante :

i	1	2	3	4	5	6	7
Filtre	<i>U</i>	<i>B</i>	<i>V</i>	<i>B</i> ₁	<i>B</i> ₂	<i>V</i> ₁	<i>G</i>

Dans le tableau 2, nous avons calculé pour les corps noirs envisagés les indices de couleur dont nous avons besoin pour établir nos paramètres g et Δ (v. GOLAY, 1964), Δ étant donné dans la dernière colonne. Précisons que dans le cas stellaire, Δ est en corrélation avec la discontinuité de Balmer.

Les graphiques 1, 2 et 3 sont tirés de ce tableau tandis que pour le graphique 4 nous avons calculé $V = -2 \cdot 5 \log E_3$ et pris Δ dans le tableau 2.

Nous remarquons une relation quasi linéaire pour $B_1 - B_2 = f(B - V)$, relation que nous retrouvons également pour $U - B = f(B - V)$ tandis que $B_1 - B_2 = f(\Delta)$ s'écarte quelque peu d'une droite ; il en va de même pour $V = f(\Delta)$.

$$\text{Enfin nous avons calculé } (\lambda_{\text{eff}})_i = \frac{\int_{\lambda_1}^{\lambda_2} \lambda B(\lambda, T) \Phi_i(\lambda) d\lambda}{\int_{\lambda_1}^{\lambda_2} B(\lambda, T) \Phi_i(\lambda) d\lambda}$$

pour les mêmes températures.

Les résultats sont donnés dans le tableau 3.

Nous pouvons remarquer que la variation de λ_{eff} en fonction de T_e est peu importante pour les cinq filtres que nous utilisons : 85 Å pour le filtre U et environ 40 Å pour les autres.

Nous donnons ci-dessous pour chaque filtre λ_o selon GOLAY (1964) et le type spectral pour lequel $\lambda_{\text{eff}} \simeq \lambda_o$.

Filtre	U	B	V	B_1	B_2	V_1	G
λ_o	3451	4270	5532	4028	4494	5408	5850
Type spectral $\lambda_{\text{eff}} \simeq \lambda_o$	A5	F8	K1	F2	F7	F0	K2

BIBLIOGRAPHIE

- GOLAY, M. 1964. — *Publ. Obs. Genève*, Sér. A, № 66.
 HARRIS, D. L. 1963. — In Basic Astronomical Data (p. 269). Ed. K. A. STRAND. The University of Chicago Press.
 KAYE et LABY. 1944. — Physical and Chemical Constants. Green, London.
 RUFENER, F. et al. 1964. — *Publ. Obs. Genève*, Sér. A, № 66.

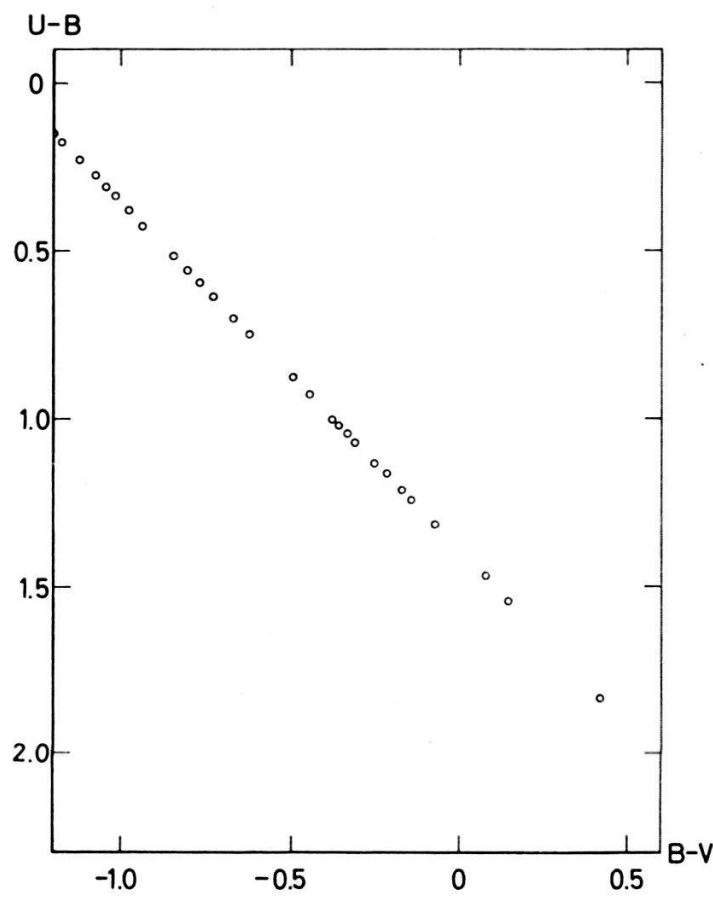


Fig. 1

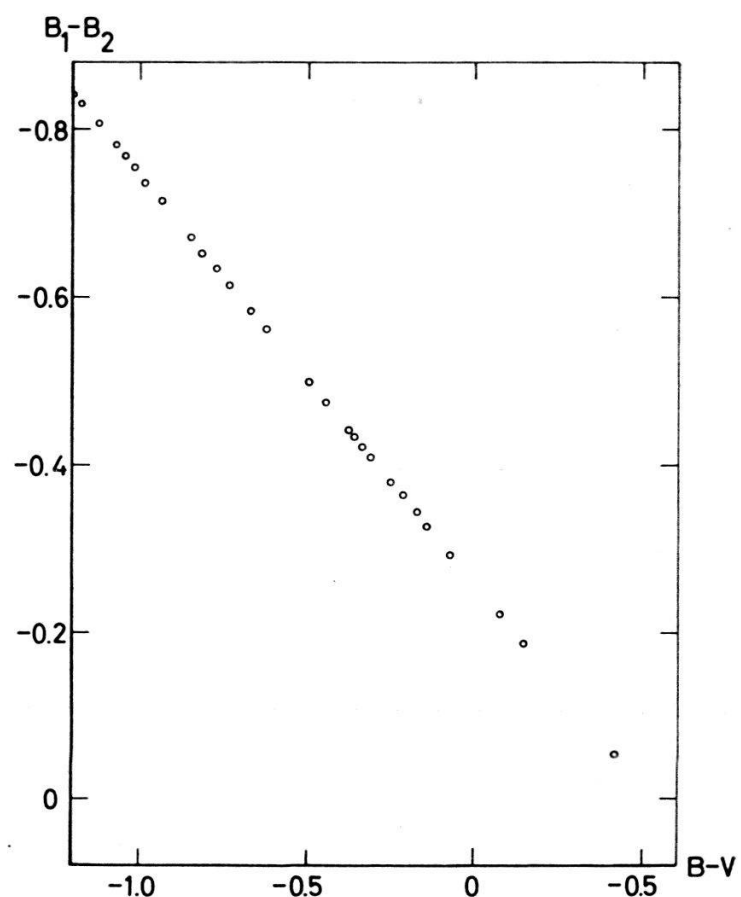


Fig. 2

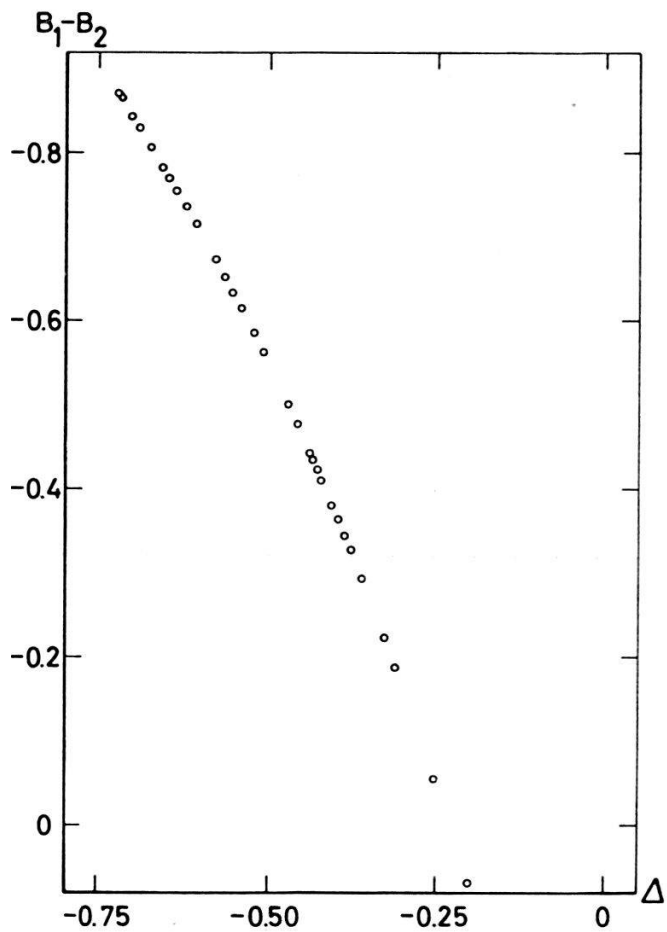


Fig. 3

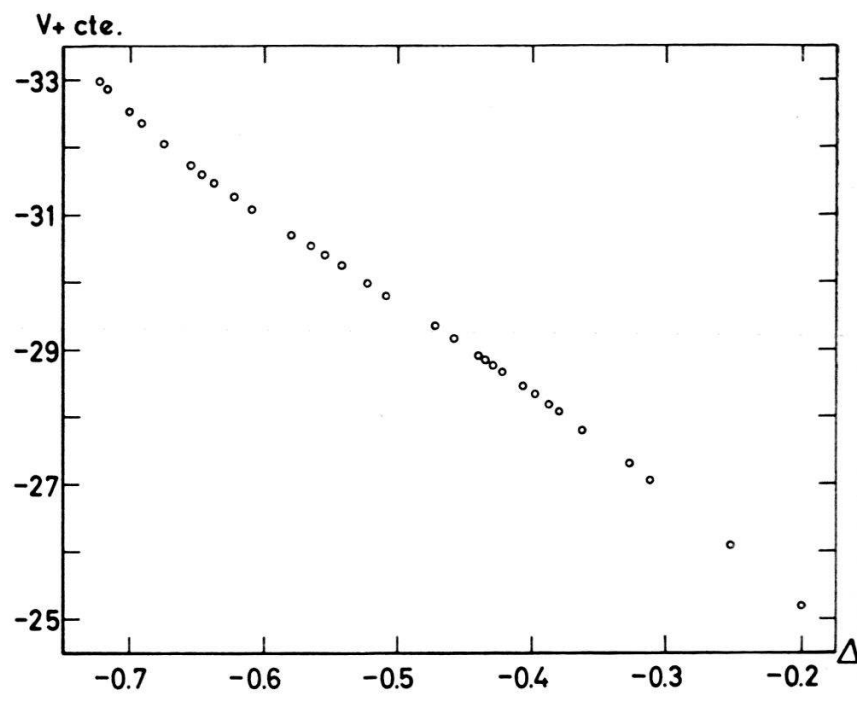


Fig. 4

TABLEAU 1. — CALCUL DES E_i

T_e	Type spectral	E_1	E_2	E_3	E_4	E_5	E_6	E_7							
31900	O9	4.54	13	4.94	13	1.56	13	2.33	13	1.04	13	7.46	12	4.87	12
30000	B0	4.06	13	4.46	13	1.42	13	2.10	13	9.47	12	6.81	12	4.46	12
24200	B1	2.66	13	3.05	13	1.01	13	1.42	13	6.56	12	4.86	12	3.21	12
22100	B2	2.18	13	2.57	13	8.71	12	1.19	13	5.54	12	4.17	12	2.77	12
18800	B3	1.49	13	1.84	13	6.54	12	8.46	12	4.02	12	3.12	12	2.10	12
16410	B5	1.04	13	1.35	13	5.02	12	6.14	12	2.99	12	2.39	12	1.62	12
15400	B6	8.70	12	1.16	13	4.42	12	5.24	12	2.58	12	2.10	12	1.44	12
14500	B7	7.27	12	9.92	12	3.89	12	4.47	12	2.23	12	1.85	12	1.27	12
13400	B8	5.66	12	8.03	12	3.26	12	3.59	12	1.82	12	1.55	12	1.07	12
12400	B9	4.35	12	6.44	12	2.72	12	2.85	12	1.48	12	1.29	12	9.02	11
10800	A0	2.61	12	4.19	12	1.92	12	1.82	12	9.82	11	9.06	11	6.46	11
10200	A1	2.07	12	3.46	12	1.64	12	1.49	12	8.18	11	7.74	11	5.57	11
9730	A2	1.69	12	2.93	12	1.44	12	1.25	12	6.99	11	6.76	11	4.90	11
9260	A3	1.36	12	2.44	12	1.24	12	1.04	12	5.88	11	5.83	11	4.27	11
8620	A5	9.70	11	1.85	12	9.96	11	7.74	11	4.52	11	4.66	11	3.46	11
8190	A7	7.51	11	1.50	12	8.43	11	6.21	11	3.70	11	3.94	11	2.95	11
7240	F0	3.85	11	8.64	11	5.46	11	3.49	11	2.20	11	2.54	11	1.96	11
6930	F2	2.97	11	7.00	11	4.63	11	2.80	11	1.80	11	2.14	11	1.67	11
6540	F5	2.08	11	5.23	11	3.68	11	2.05	11	1.36	11	1.70	11	1.35	11
6450	F6	1.90	11	4.86	11	3.48	11	1.90	11	1.28	11	1.60	11	1.27	11
6320	F7	1.67	11	4.36	11	3.20	11	1.70	11	1.15	11	1.47	11	1.18	11
6200	F8	1.47	11	3.93	11	2.95	11	1.52	11	1.04	11	1.36	11	1.09	11
5920	G0	1.07	11	3.04	11	2.41	11	1.16	11	8.17	10	1.10	11	9.02	10
5780	G2	9.03	10	2.65	11	2.16	11	1.00	11	7.16	10	9.90	10	8.14	10
5610	G5	7.27	10	2.22	11	1.88	11	8.31	10	6.06	10	8.61	10	7.14	10
5490	G8	6.19	10	1.94	11	1.70	11	7.23	10	5.35	10	7.78	10	6.48	10
5240	K0	4.32	10	1.45	11	1.36	11	5.31	10	4.05	10	6.15	10	5.23	10
4780	K2	2.02	10	7.84	10	8.39	10	2.76	10	2.25	10	3.77	10	3.32	10
4590	K3	1.42	10	5.86	10	6.69	10	2.03	10	1.71	10	3.00	10	2.68	10
3970	K4	3.49	9	1.88	10	2.77	10	6.08	9	5.78	9	1.22	10	1.16	10
3520	K7	9.33	8	6.46	9	1.20	10	1.94	9	2.08	9	5.19	9	5.28	9

TABLEAU 2. — CALCUL DES INDICES

T_e	Type spectral	$V_1 - G$	$B_1 - B_2$	$U - B_2$	$B_2 - G$	$U - B$	$B - V$	Δ
31900	O9	-0.463	-0.872	-1.595	-0.829	+0.091	-1.255	-0.721
30000	B0	-0.461	-0.866	-1.581	-0.819	+0.103	-1.243	-0.717
24200	B1	-0.450	-0.843	-1.519	-0.776	+0.152	-1.197	-0.701
22100	B2	-0.444	-0.831	-1.487	-0.754	+0.176	-1.173	-0.692
18800	B3	-0.432	-0.807	-1.421	-0.708	+0.229	-1.123	-0.674
16400	B5	-0.420	-0.782	-1.354	-0.661	+0.282	-1.072	-0.656
15400	B6	-0.414	-0.769	-1.319	-0.637	+0.310	-1.045	-0.647
14500	B7	-0.407	-0.765	-1.282	-0.612	+0.338	-1.018	-0.637
13400	B8	-0.398	-0.736	-1.231	-0.575	+0.380	-0.978	-0.623
12400	B9	-0.388	-0.715	-1.174	-0.536	+0.424	-0.936	-0.609
10800	A0	-0.367	-0.672	-1.066	-0.456	+0.515	-0.849	-0.580
10200	A1	-0.358	-0.652	-1.007	-0.418	+0.557	-0.808	-0.566
9730	A2	-0.349	-0.635	-0.961	-0.385	+0.594	-0.772	-0.555
9260	A3	-0.340	-0.615	-0.909	-0.348	+0.636	-0.733	-0.542
8620	A5	-0.325	-0.585	-0.830	-0.290	+0.700	-0.671	-0.523
8190	A7	-0.313	-0.562	-0.769	-0.246	+0.749	-0.624	-0.509
7240	F0	-0.282	-0.500	-0.607	-0.127	+0.879	-0.498	-0.473
6930	F2	-0.270	-0.476	-0.544	-0.081	+0.930	-0.449	-0.459
6540	F5	-0.253	-0.443	-0.457	-0.016	+1.001	-0.380	-0.440
6450	F6	-0.249	-0.435	-0.435	+0.001	+1.018	-0.363	-0.436
6320	F7	-0.243	-0.422	-0.402	+0.025	+1.045	-0.337	-0.429
6200	F8	-0.237	-0.410	-0.371	+0.049	+1.070	-0.313	-0.422
5920	G0	-0.221	-0.380	-0.293	+0.107	+1.133	-0.252	-0.407
5780	G2	-0.213	-0.364	-0.252	+0.139	+1.167	-0.219	-0.398
5610	G5	-0.202	-0.344	-0.198	+0.179	+1.211	-0.176	-0.388
5490	G8	-0.194	-0.328	-0.159	+0.210	+1.244	-0.145	-0.380
5240	K0	-0.177	-0.294	-0.070	+0.277	+1.316	-0.075	-0.363
4780	K2	-0.139	-0.222	+0.116	+0.421	+1.470	+0.074	-0.328
4590	K3	-0.121	-0.188	+0.204	+0.489	+1.543	+0.144	-0.312
3970	K5	-0.050	-0.055	+0.546	+0.758	+1.829	+0.417	-0.253
3520	K7	+0.017	+0.071	+0.868	+1.013	+2.101	+0.675	-0.201

TABLEAU 3. — CALCUL DE λ_{EFF}

T_e	Type spectral	U	B	V	B_1	B_2	V_1	G
31900	O9	3422.4	4204.0	5472.5	4007.6	4477.6	5393.7	5822.4
30000	B0	3423.0	4204.8	5473.0	4007.9	4477.8	5393.9	5822.7
24200	B1	3425.3	4208.0	5475.1	4009.1	4478.6	5394.8	5823.6
22100	B2	3426.5	4209.6	5476.1	4009.7	4479.1	5395.3	5824.1
18800	B3	3429.0	4213.0	5478.3	4010.9	4479.9	5396.2	5825.1
16400	B5	3431.5	4216.5	5480.6	4012.2	4480.8	5397.2	5826.1
15400	B6	3432.8	4218.3	5481.8	4012.9	4481.3	5397.7	5826.6
14500	B7	3434.2	4220.2	5483.0	4013.6	4481.8	5398.2	5827.2
13400	B8	3436.1	4222.9	5484.8	4014.8	4482.4	5398.9	5828.0
12410	B9	3438.2	4225.9	5486.8	4015.7	4483.2	5399.8	5828.8
10800	A0	3442.3	4231.9	5490.8	4017.9	4484.7	5401.4	5830.6
10200	A1	3444.3	4234.7	5492.6	4018.9	4485.4	5402.2	5831.5
9730	A2	3445.0	4237.2	5494.3	4019.8	4486.1	5402.9	5832.2
9260	A3	3447.8	4240.0	5496.2	4020.8	4486.8	5403.7	5833.0
8620	A5	3450.7	4244.3	5499.1	4022.4	4487.8	5404.9	5834.3
8190	A7	3452.9	4247.6	5501.4	4023.7	4488.7	5405.8	5835.4
7240	F0	3458.6	4256.5	5507.5	4026.9	4490.9	5408.4	5838.1
6930	F2	3460.8	4260.0	5510.0	4028.2	4491.8	5409.4	5839.2
6540	F5	3463.9	4264.8	5513.3	4030.0	4493.0	5410.8	5840.7
6450	F6	3464.6	4266.0	5514.2	4030.4	4493.4	5411.2	5841.1
6320	F7	3465.8	4267.9	5515.5	4031.1	4493.8	5411.7	5841.6
6200	F8	3466.8	4269.6	5516.7	4031.7	4494.3	5412.2	5842.2
5920	G0	3469.5	4273.9	5519.9	4033.4	4495.4	5413.5	5843.6
5780	G2	3471.0	4276.3	5521.6	4034.2	4496.0	5414.2	5844.3
5610	G5	3472.8	4279.3	5523.8	4035.3	4496.7	5415.1	5845.3
5490	G8	3474.1	4281.5	5525.4	4036.2	4497.3	5415.8	5846.0
5240	K0	3477.1	4286.5	5529.1	4038.0	4498.6	5417.3	5847.6
4780	K2	3483.4	4297.1	5537.0	4042.0	4501.3	5420.5	5851.1
4590	K3	3486.3	4302.1	5540.8	4043.8	4502.6	5422.0	5852.8
3970	K5	3497.4	4321.2	5556.0	4051.2	4507.6	5428.2	5859.5
3520	K7	3507.5	4340.2	5570.7	4058.3	4512.4	5434.2	5865.0